

V-195 エポキシアスファルトコンクリートの歪と疲労破壊回数との関係

大林道路株式会社 正員 高橋 哲躬
大林道路株式会社 正員 高須 武

1 はじめに

エポキシアスファルトコンクリートの静的性状は今までの一連の研究より明らかになりつつあるが、繰返し載荷試験等に関するデーターは非常に少い。本報告は細粒度および密粒度エポキシアスファルトコンクリートの繰返し曲げ試験において、ひずみ量を $10^{-4} \sim 10^{-3}$ のオーダーで変化させ、ひずみと破壊回数との関係を求め、さらに他のアスファルト混合物と比較検討したりとしたものである。

2 使用材料

使用したエポキシアスファルトはシェル石油(株)製で、A液(主剤)とB液(アスファルト+硬化剤)の2液よりなる結合材であり、加熱混合方式である。A、B液の性状を表-1に示す。また粗骨材およびスクリーニングスは奥多摩産の硬質砂岩、砂は利根川産の川砂であり、その性状を表-2に示す。

3. 供試体作製方法

エポキシアスコンは表-3に示すところの密粒度および細粒度を使用し、バイソーダー量を各々 6.0%、7.0%として、120℃で混合した。混合後50分間同温度の恒温槽内に放置し、 $5 \times 30 \times 40$ cm の大きさにローラーコンパクターで練固め、さらには120℃で4時間養生し、 $4 \times 4 \times 35$ cm の寸法を6面カットして供試体とした。なおこの時のマーシャル安定度は密粒度、細粒度ともに約7000 kgである。

比較のため試験した 80/100 ストレートアスコンは密粒度エポキシアスコンと同粒度でバイソーダー量も 6.0% とした。またゲースアスファルトのバイソーダー量は 8.7% である。

4. 試験方法

試験用いた装置はイソストリソ万能試験機であり、供試体寸法 $4 \times 4 \times 35$ cm、スパン 30 cm、載荷点間隔 10 cm の4点曲げ試験法とし、温度制御には空気槽を用いた。

試験は 5 Hz の正弦的に変化する変位を入力とした往復み制御方式をとった。試験温度は 20℃ および 0℃ とし、表-4 に示すとおり、細粒度エポキシアスコン、密粒度エポキシアスコンの他、0℃では比較的のためストレートアスコンおよびゲースアスファルトも試験を行った。ひずみ量は約 4×10^{-4} から $1 \sim 2 \times 10^{-3}$ 間隔で 1.2×10^{-3} まで変化させた。これは供試体中央のたわみにして約 0.02 cm ~ 0.06 cm である。なお応力およびひずみの解析には次式を使用した。

$$\text{応力 } \sigma = \frac{6 P l_1}{b h^2}$$

$$\text{ひずみ } \varepsilon = \frac{12 h d}{3 l^2 - 4 l^2}$$

b: 供試体の幅 (cm) l_1 : 支点から載荷点までの距離 (cm)

h: 供試体の厚さ (cm) d: 供試体中央部のたわみ (cm)

l: スパン (cm) P: 荷重 (kg)

表-1 エポキシアスファルトの性状

バイソーダー	試験項目	試験値
A 液	粘度 (PS) 25°C ASTM 445	105
	エポキシ当量 ASTM 1652	189
	比重 25/15 ASTM 1475	1.170
	引火点 °C ASTM 92	256
B 液	粘度 (CPS) 89°C Brookfield	2500
	酸価 ASTM 664	46.4
	引火点 °C ASTM 92	266

表-2 骨材の性状

骨材	6号筋石	7号筋石	スクリーニング	砂	石粉
見掛け比重	2.694	2.696	2.702	2.737	2.708
吸水量 (%)	0.86	1.14	2.94	2.79	—

表-3 混合物の粒度

粒度 (mm)	13	5	2.5	0.6	0.3	0.15	0.074
密粒度	100	65	42.5	26.3	15.2	9.9	6.3
細粒度	100	72.5	57.5	35.5	19.7	12.1	7.2

表-4 供試体の種類

試験温度	0 °C	20 °C
供試体	細粒度エポキシアスコン 密粒度エポキシアスコン ストレートアスコン ゲースアスファルト	細粒度エポキシアスコン 密粒度エポキシアスコン

5 試験結果および考察

5-1 複素弾性率と載荷回数

図-1は試験温度20℃における細粒度エポキシアスコンの複素弾性率と載荷回数との関係を示したものである。これによると両対数紙上で載荷回数が増加するとともに、複素弾性率は直線的に低下し、ある載荷回数附近に至って急激に低下を示している。そしてひずみ量が増加すると複素弾性率は減少する傾向にある。

5-2 細粒度エポキシアスコンのE-N曲線

試験温度20℃において、細粒度エポキシアスコンのひずみ量を 3.83×10^{-4} ~ 1.22×10^{-3} の範囲で変化させてE-N曲線を図-2に示す。この図よりエポキシアスコンは一般的なストレートアスコンと同様、与えるひずみ量が小となるほど破壊回数は増大し、またわずかのひずみ量の変化でもその回数は大きく変化する。

5-3 0℃および20℃におけるE-N曲線

試験温度0℃、20℃における、細粒度および粗粒度エポキシアスコンのE-N曲線は図-3に示すとおり、粒度の違いあるいは試験温度の違いによる差はほとんど無いものと思われる。

5-4 混合物の違いによる複素弾性率

試験温度0℃、ひずみ量約 6×10^{-4} におけるエポキシアスコン、ストレートアスコン、およびグースアスファルトの複素弾性率を表-5に示す。これによると載荷回数500の複素弾性率、破壊時の複素弾性率ともに、エポキシアスコンが他の混合物よりも大きい。

5-5 各混合物のE-N曲線

試験温度0℃における細粒度エポキシアスコン、グースアスファルトおよびストレートアスコンのE-N曲線を図-4に示す。この図より同一ひずみにおいてはエポキシアスコンが最も破壊回数が大きく、ストレートアスコンが最も小さい。

6 おわりに

主としてエポキシアスコンのE-N曲線について記したが、今後エポキシアスファルト量あるいは試験温度等を変化させて、繰返し曲げ試験を行っていく予定である。

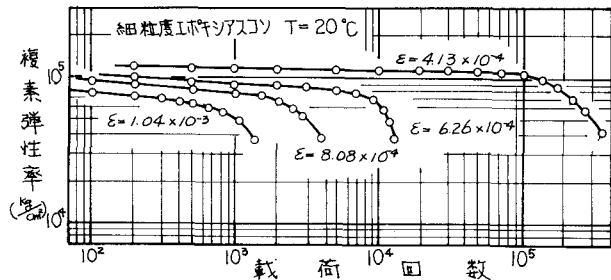


図-1 複素弾性率と載荷回数

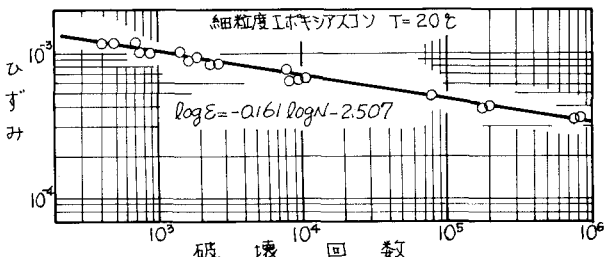


図-2 細粒度エポキシアスコンのE-N曲線

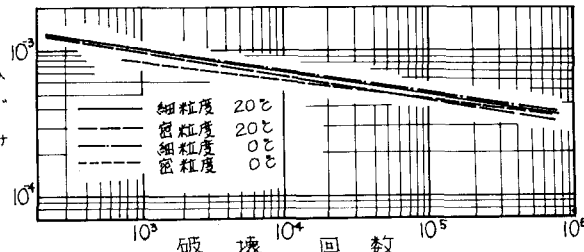


図-3 0℃、20℃におけるエポキシアスコンのE-N曲線

表-5 ひずみ量 6×10^{-4} における複素弾性率

混合物の種類	ひずみ	500載荷時E*	破壊時E*	E*低下率	破壊時E*低下率
細粒度 エポキシアスコン	5.99×10^{-4}	1.72×10^5	1.3×10^5	0.0159	0.756
	6.03×10^{-4}	2.02×10^5	1.3×10^5	0.0330	0.644
粗粒度 エポキシアスコン	6.29×10^{-4}	2.17×10^5	1.7×10^5	0.0306	0.783
ストレートアスコン	6.47×10^{-4}	2.02×10^5	1.7×10^5	0.0182	0.821
	6.06×10^{-4}	8.10×10^4	5.8×10^4	0.0574	0.717
	6.16×10^{-4}	7.14×10^4	5.5×10^4	0.0512	0.788
グースアスファルト	6.18×10^{-4}	8.01×10^4	6.5×10^4	0.0699	0.811
	6.22×10^{-4}	8.47×10^4	6.2×10^4	0.0706	0.732

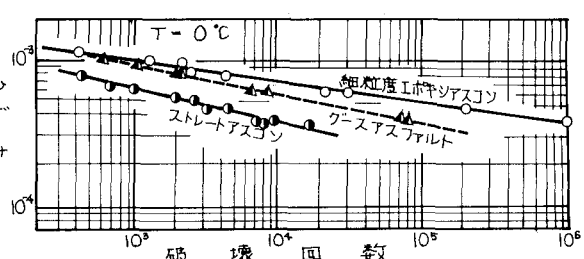


図-4 各混合物のE-N曲線